

# コンクリート中の水分の運動と乾燥收縮に関する研究

岡山大学 学生員 ○池田 真  
 " " 瀬野 隆司  
 " 正員 阪田 勝次

## 1. まえがき

コンクリートの乾燥收縮は、プレストレスの減退やひびわれの原因となり、その定量的な予測は、さわめて重要なものである。コンクリートの乾燥收縮は、コンクリート中の水分の外部への運動と密接な関係があり、したがって、コンクリート中の水分の運動を把握できれば、コンクリートの乾燥收縮の予測は可能なようと思われる。一般に、コンクリート中の水分の運動は拡散方程式に従い、拡散係数をコンクリート中の含水率の関数とした非線形拡散方程式を適用することを望ましいと考えている。一次元の非線形拡散方程式は(1)式で表わされる。

$$\frac{dC}{dt} = D_C \frac{d^2C}{dx^2} \quad (1)$$

また、 $x = \lambda / t^{1/2}$ なる変数を導入してボルツマン変換すると、拡散係数  $D_C$  が(2)式で表わされる。

$$D_C = \int_0^\infty \lambda d\lambda / (dC/d\lambda) \quad (2)$$

したがって、実験よりコンクリート中の所定の点  $x$  の任意時間  $t$  における含水率  $C$  を求められれば(2)式より拡散係数を求められる。このようにして求めた  $D_C$  を(1)式に代入して、ある初期条件、境界条件の下で有限要素法によって解析し、コンクリート中の水分運動率と乾燥時間の関係を得、これと実験による水分運動率と乾燥時間の関係を比較し考察する。また、別の実験により求めたコンクリートの乾燥收縮ひずみと水分運動率の関係についても検討する。

## 2. 実験概要

表-1 に実験に使用したコンクリートの配合を示す。また、表-1 は供試体の形状寸法を示すもので、打設後24時間室温中に放置した後脱型し、脱型後は所定の材令まで標準水中養生を施した。そして、相対する2面のみを磨き、他の4面をビニール塗料およびパラフィルムで被覆し、水分の運動を一元的になるようとした。供試体(a)でゲージプラグ間の収縮ひずみをホイットモアひずみ計で測定した。また、軸方向長さの異なる供試体(b)の重量の経時変化を測定することにより、(2)コンクリート中の含水率の場所的および時間的な分布を求め、(2)式

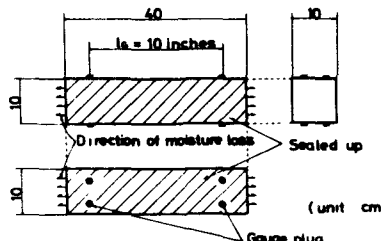
で  $D_C$  を決定した。実験はすべて20°C、60% R.H.の恒温恒湿室で行ない、測定期間は約130日間である。

## 3. 結果と考察

図-2 に供試体(b)より求めた水分運動率(水分運動量/可能運動水量)と乾燥時間の関係を示し、これとともに前述の(a)の関係を示したのが図-3 である。これより(2)式で拡散係数  $D_C$  を計算し、含水率との関係

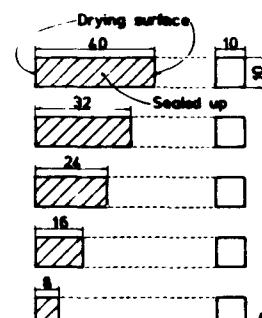
表-1 コンクリートの配合表

Kind of concrete	W/C (%)	W (kg/m³)	C (kg/m³)	s/a (%)	S (kg/m³)	G (kg/m³)
Main	50.0	200	400	44	712	968
Water -1	44.0	176	400	44	739	1023
Water -2	47.5	190	400	44	724	1002
Water -3	52.5	210	400	44	702	972
Water -4	56.0	224	400	44	687	950
Cement -1	60.0	200	333	44	737	1018
Cement -2	55.0	200	364	44	724	1004
Cement -3	45.0	200	444	44	687	967
Cement -4	41.7	200	480	44	684	948



(a) 収縮ひずみ測定用

図-1 供試体



(b) 拡散係数測定用

図-1 供試体

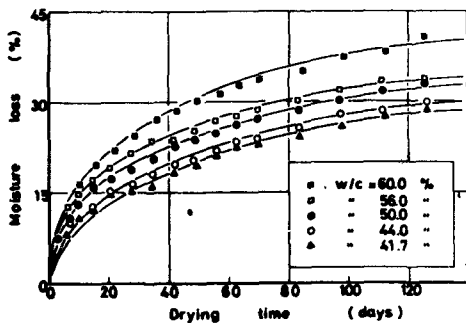


図-2 水分遊散率～乾燥時間 ( $x=2\text{cm}$ )

を図-4に示した。これより明らかのように、拡散係数は、含水率が80%以下ではほぼ一定であるが、80%以上になると急激に大きくなっている。したがって、拡散係数はコンクリート中の含水率と密接な関係があることから分かるかがわかる。次に、この拡散係数を用い、コンクリート中の水分遊散率を求めるための数値計算を行なった。境界条件は次式で表せられると Newton の移動法則を用いた。

$$K \left( \frac{\partial C}{\partial x} \right)_x = f(C_e - C)$$

ここで、 $f$ : 表面係数

$C_e$ : 外気の湿度、 $C$ : コンクリート表面の湿度。図-5は、種々の表面係数を仮定し、実験結果と一致するものを見つけた一例である。図-6は、図-1の(a)に示した供試体より測定した収縮ひずみと乾燥時間の関係を示したもので、これによると、乾燥初期においてはあまり収縮せず、ある程度乾燥が進むと急激に収縮しだしている。また、収縮ひずみと水分遊散率の関係を図-7に示した。これより、収縮ひずみと水分遊散率には密接な関係があることがわかる。

#### 4. お と か き

以上の結果を総合すると、コンクリートの乾燥収縮は、コンクリート中の水分の遊散と密接な関係があり、また、水分遊散機構は、非線形拡散方程式によて近似でき、前述の拡散係数や表面係数を用いれば、コンクリート中の水分遊散率を場所的および時間的に予測することが可能であるようと思われる。しかし、現時点において、拡散係数や表面係数をコンクリートの配合や諸々の条件から求めたり、また、収縮ひずみと水分遊散率の定量的な関係を把握するまでは至っていない。今後の研究の課題となると思われる。

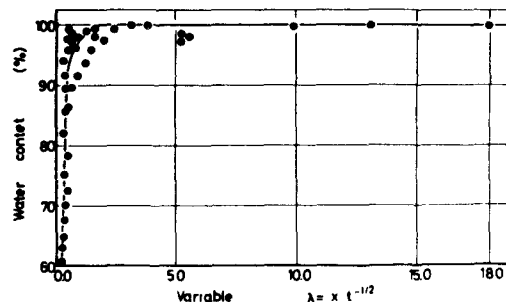


図-3  $C \sim \lambda$  曲線

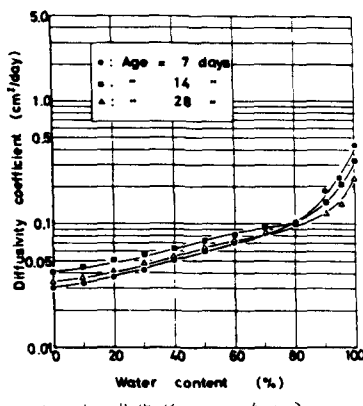


図-4 拡散係数～含水率

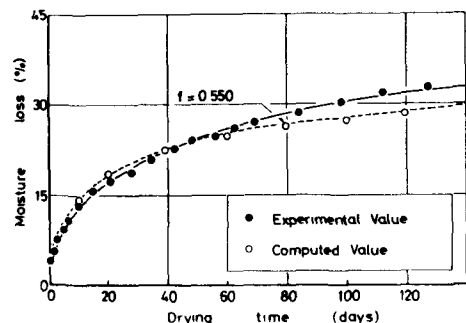


図-5 水分遊散率～乾燥時間

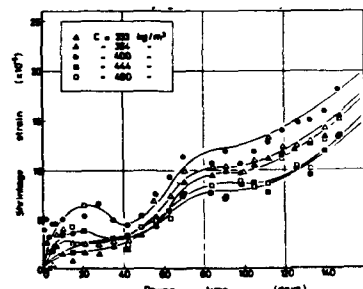


図-6 収縮ひずみ～乾燥時間

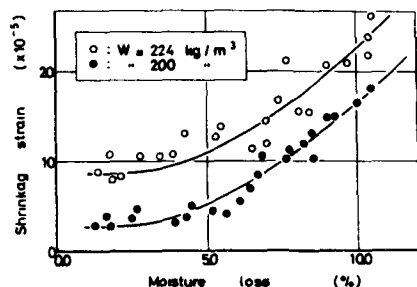


図-7 収縮ひずみ～水分遊散率